

Características

Antena cilíndrica de fendas para TV DIGITAL UHF canal 14-52
 Diagrama direcional, omnidirecional ou específico
 Montagem em topo ou lateral de torre
 Reduzida carga de vento com construção robusta
 Variada gama de diagramas de radiação, potência de entrada e ganhos

Especificações:

Potência Max	De acordo com projeto
Ganho	Vide tabela
Faixa de Frequência	470 a 704 MHz
Polarização	Horizontal
Diagrama Horizontal	Direcional, Omnidirecional .
Diagrama vertical	Tilt e null fill opcional
Impedância de entrada	50 ohms
VSWR Max no canal	1,1 : 1
Conector de entrada	N-Fêmea, EIA7/8", EIA1-5/8" e EIA 3-1/8"
Dimensões e esforços	Tabela
Velocidade Max vento	190 Km/h
Quantidade de fendas	2,4,6,8,12 fendas
Aterrimento	Através da estrutura da antena
Largura de faixa	6 MHz

Material Empregado:

Estrutura da antena em alumínio, latão e aço inox
 Linhas de alimentação das fendas em alumínio
 Radome em fibra de vidro de alta qualidade
 Fixadores em aço inox e isoladores em PTFE
 Conector de entrada com contatos internos com tratamento em prata
 Estrutura de sustentação em aço galvanizado a quente

Montagem:

Fixação em topo de torres através de flanges padronizadas ou na lateral de torres por suporte de adaptação .

Modelo:

ASCL-(Nº FENDAS) - (DIAGRAMA HOR.) - (CANAL) - (POTÊNCIA)

2,4,6,8,12 80°, 140°, 220°, 260°, 360° 14 até 52 em Kilowatt

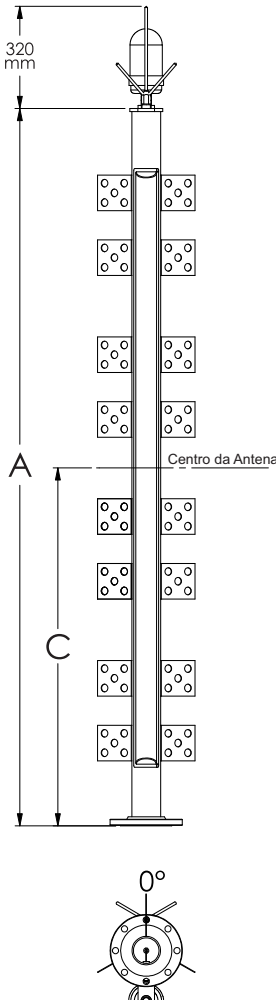
ANTENA SLOT CILÍNDRICA - UHF - Pol. H

Características Mecânicas

- A** Altura da antena em mm
C Centro de radiação em mm
P Peso da antena em Kg (montagem topo)
AE Área de exposição da antena em m²

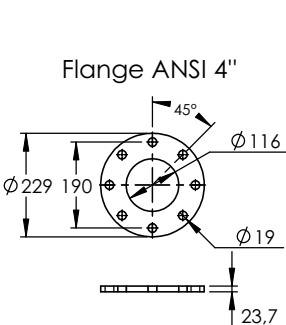
Montagem Lateral

Acrescentar 6 kg ao peso total da antena para o caso de instalação com suporte lateral.



Canal	ASCL-2				ASCL-4				ASCL-6				ASCL-8				ASCL-12			
	A	C	P	AE	A	C	P	AE	A	C	P	AE	A	C	P	AE	A	C	P	AE
14	2211	1106	13	0,27	3480	1740	19,6	0,44	4748	2374	25,9	0,62	6017	3008	32,0	0,80	8554	4277	42,3	1,07
15	2159	1080	13	0,26	3412	1706	19,4	0,44	4665	2332	25,7	0,61	5917	2959	31,7	0,79	8422	4211	41,9	1,05
16	2233	1116	13	0,26	3470	1735	19,2	0,43	4707	2353	25,4	0,61	5944	2972	31,4	0,78	8418	4209	41,5	1,04
17	2194	1097	13	0,26	3416	1708	19,1	0,43	4638	2319	25,2	0,60	5860	2930	31,1	0,77	8304	4152	41,2	1,03
18	2169	1084	13	0,25	3376	1688	18,9	0,42	4583	2292	25,0	0,59	5790	2895	30,8	0,76	8205	4102	40,8	1,01
19	2144	1072	13	0,25	3336	1668	18,8	0,42	4529	2265	24,8	0,58	5722	2861	30,6	0,75	8108	4054	40,4	1,00
20	2131	1066	13	0,25	3310	1655	18,6	0,41	4489	2244	24,6	0,58	5667	2834	30,3	0,74	8025	4012	40,1	0,99
21	2107	1054	13	0,24	3272	1636	18,5	0,41	4437	2219	24,4	0,57	5602	2801	30,1	0,73	7932	3966	39,7	0,98
22	2118	1059	13	0,24	3270	1635	18,3	0,40	4422	2211	24,2	0,56	5573	2787	29,8	0,73	7877	3938	39,4	0,97
23	2072	1036	13	0,24	3211	1605	18,2	0,40	4349	2175	24,0	0,56	5488	2744	29,6	0,72	7765	3883	39,0	0,96
24	2050	1025	13	0,24	3176	1588	18,1	0,39	4301	2151	23,8	0,55	5427	2714	29,3	0,71	7678	3839	38,7	0,95
25	2028	1014	12	0,23	3141	1571	17,9	0,39	4254	2127	23,6	0,55	5368	2684	29,1	0,70	7594	3797	38,4	0,94
26	1996	998	12	0,23	3097	1548	17,8	0,39	4197	2099	23,5	0,54	5298	2649	28,9	0,69	7500	3750	38,1	0,92
27	1997	998	12	0,23	3085	1543	17,7	0,38	4174	2087	23,3	0,53	5263	2632	28,6	0,69	7441	3721	37,8	0,91
28	1987	993	12	0,23	3064	1532	17,6	0,38	4141	2071	23,1	0,53	5218	2609	28,4	0,68	7373	3686	37,5	0,90
29	1977	988	12	0,22	3043	1521	17,4	0,37	4108	2054	23,0	0,52	5174	2587	28,2	0,67	7306	3653	37,2	0,90
30	1968	984	12	0,22	3022	1511	17,3	0,37	4076	2038	22,8	0,52	5131	2565	28,0	0,66	7240	3620	36,9	0,89
31	1948	974	12	0,22	2991	1496	17,2	0,37	4035	2017	22,6	0,51	5078	2539	27,8	0,66	7165	3583	36,6	0,88
32	1939	969	12	0,22	2972	1486	17,1	0,36	4004	2002	22,5	0,51	5037	2518	27,6	0,65	7102	3551	36,3	0,87
33	1889	945	12	0,21	2911	1456	17,0	0,36	3933	1967	22,3	0,50	4956	2478	27,4	0,64	7000	3500	36,1	0,86
34	1830	915	12	0,21	2842	1421	16,9	0,35	3854	1927	22,2	0,50	4866	2433	27,2	0,64	6889	3445	35,8	0,85
35	1813	906	12	0,21	2815	1407	16,8	0,35	3816	1908	22,0	0,49	4818	2409	27,0	0,63	6821	3411	35,5	0,84
36	1806	903	12	0,21	2797	1399	16,7	0,35	3789	1895	21,9	0,49	4781	2390	26,8	0,62	6764	3382	35,3	0,83
37	1798	899	12	0,21	2780	1390	16,6	0,34	3762	1881	21,7	0,48	4744	2372	26,7	0,62	6708	3354	35,0	0,82
38	1792	896	12	0,20	2764	1382	16,5	0,34	3736	1868	21,6	0,48	4709	2354	26,5	0,61	6654	3327	34,8	0,82
39	1775	888	11	0,20	2738	1369	16,4	0,34	3701	1851	21,5	0,47	4664	2332	26,3	0,61	6590	3295	34,6	0,81
40	1770	885	11	0,20	2724	1362	16,3	0,33	3678	1839	21,3	0,47	4632	2316	26,1	0,60	6540	3270	34,3	0,80
41	1752	876	11	0,20	2697	1349	16,2	0,33	3642	1821	21,2	0,46	4587	2294	26,0	0,60	6477	3238	34,1	0,79
42	1737	868	11	0,20	2673	1336	16,1	0,33	3609	1804	21,1	0,46	4545	2272	25,8	0,59	6417	3208	33,9	0,79
43	1721	861	11	0,19	2649	1324	16,0	0,32	3576	1788	20,9	0,45	4503	2252	25,7	0,58	6358	3179	33,6	0,78
44	1706	853	11	0,19	2625	1313	15,9	0,32	3544	1772	20,8	0,45	4463	2231	25,5	0,58	6301	3150	33,4	0,77
45	1692	846	11	0,19	2602	1301	15,8	0,32	3512	1756	20,7	0,45	4423	2211	25,3	0,57	6244	3122	33,2	0,76
46	1686	843	11	0,19	2588	1294	15,7	0,32	3491	1745	20,6	0,44	4393	2196	25,2	0,57	6197	3099	33,0	0,76
47	1681	840	11	0,19	2575	1287	15,6	0,31	3469	1734	20,5	0,44	4363	2182	25,0	0,56	6152	3076	32,8	0,75
48	1675	838	11	0,19	2562	1281	15,6	0,31	3448	1724	20,4	0,43	4334	2167	24,9	0,56	6107	3053	32,6	0,74
49	1661	831	11	0,18	2540	1270	15,5	0,31	3418	1709	20,2	0,43	4297	2148	24,8	0,55	6054	3027	32,4	0,74
50	1647	824	11	0,18	2518	1259	15,4	0,30	3389	1695	20,1	0,43	4260	2130	24,6	0,55	6002	3001	32,2	0,73
51	1634	817	11	0,18	2497	1249	15,3	0,30	3361	1680	20,0	0,42	4224	2112	24,5	0,54	5951	2975	32,0	0,73
52	1621	810	11	0,18	2477	1238	15,2	0,30	3332	1666	19,9	0,42	4188	2094	24,3	0,54	5900	2950	31,8	0,72

Padrão da flange



ANTENA SLOT CILÍNDRICA - UHF - Pol. H

Diagramas Horizontal - escala E/Emáx

Canal	Diagrama Horizontal	ASCL-2	ASCL-4	ASCL-6	ASCL-8	ASCL-12
14 - 52	140°	5,7	11,1	16,8	21,6	32,7
	180°	4,6	9,1	13,8	18,2	27,5
	220°	3,9	7,7	11,6	15,0	22,7
	360°	3,8	7,4	9,7	14,3	18,8

Ganho em vezes sob dipolo de meia onda

Outros diagramas sob consulta

Diagrama de Azimute 140°

Graus	E/Emax	(dB)	(%)
0°	1	0	100,00%
5°	0,9988494	-0,01	99,77%
10°	0,9919733	-0,07	98,40%
15°	0,9817479	-0,16	96,38%
20°	0,9682779	-0,28	93,76%
25°	0,9506048	-0,44	90,36%
30°	0,9311079	-0,62	86,70%
35°	0,9088663	-0,83	82,60%
40°	0,8861352	-1,05	78,52%
45°	0,8619856	-1,28	74,30%
50°	0,8365013	-1,56	69,82%
55°	0,8090599	-1,84	65,46%
60°	0,7807284	-2,15	60,95%
65°	0,7516229	-2,48	56,49%
70°	0,7211075	-2,84	52,00%
75°	0,6886523	-3,24	47,42%
80°	0,6553903	-3,67	42,95%
85°	0,6201546	-4,15	38,46%
90°	0,5827738	-4,69	33,96%
95°	0,5438761	-5,29	29,58%
100°	0,5035006	-5,96	25,35%
105°	0,4602568	-6,74	21,18%
110°	0,414954	-7,64	17,22%
115°	0,3672823	-8,7	13,49%
120°	0,316592	-9,99	10,02%
125°	0,2642409	-11,56	6,98%
130°	0,209894	-13,56	4,41%
135°	0,1557758	-16,15	2,43%
140°	0,1036335	-19,69	1,07%
145°	0,0582103	-24,7	0,34%
150°	0,0396735	-28,03	0,16%
155°	0,0641948	-23,85	0,41%
160°	0,0976113	-20,21	0,95%
165°	0,1272038	-17,91	1,62%
170°	0,1499685	-16,48	2,25%
175°	0,1650061	-15,65	2,72%

Graus	E/Emax	(dB)	(%)
180°	0,1713957	-15,32	2,94%
185°	0,1688486	-15,45	2,85%
190°	0,1570363	-16,08	2,47%
195°	0,1367729	-17,28	1,87%
200°	0,1097741	-19,19	1,21%
205°	0,0800756	-21,93	0,64%
210°	0,0594262	-24,52	0,35%
215°	0,0685488	-23,28	0,47%
220°	0,1037528	-19,68	1,08%
225°	0,1491077	-16,53	2,22%
230°	0,1981527	-14,06	3,93%
235°	0,2485994	-12,09	6,18%
240°	0,2992655	-10,48	8,95%
245°	0,3483373	-9,16	12,13%
250°	0,3953686	-8,06	15,63%
255°	0,4400479	-7,13	19,36%
260°	0,482503	-5,33	23,28%
265°	0,5223962	-5,64	27,29%
270°	0,561048	-5,02	31,48%
275°	0,597723	-4,47	35,73%
280°	0,6331404	-3,97	40,09%
285°	0,6675749	-3,51	44,57%
290°	0,7006482	-3,09	49,09%
295°	0,7319813	-2,71	53,58%
300°	0,7629569	-2,35	58,21%
305°	0,7934142	-2,01	62,95%
310°	0,8231898	-1,69	67,76%
315°	0,851138	-1,4	72,44%
320°	0,8780111	-1,13	77,09%
325°	0,9036495	-0,88	81,66%
330°	0,9265298	-0,66	85,90%
335°	0,9473272	-0,47	89,74%
340°	0,9649393	-0,31	93,11%
345°	0,97949	-0,18	95,94%
350°	0,986919	-0,09	97,95%
355°	0,9965521	-0,03	99,31%

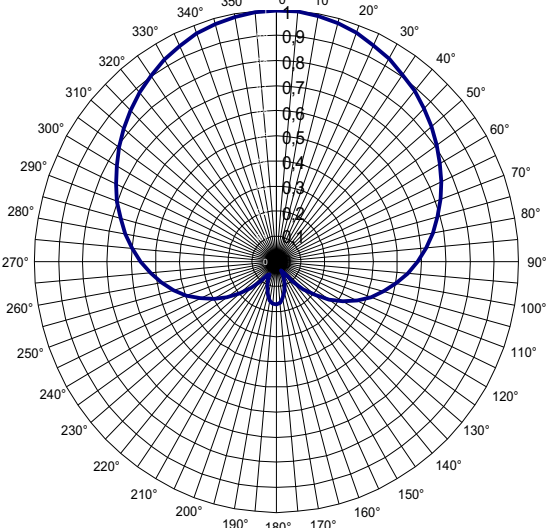


Diagrama de Azimute 180°

Graus	E/Emax	(dB)	(%)
0°	1	0	100,00%
5°	0,9977001	-0,02	99,54%
10°	0,9908319	-0,08	98,17%
15°	0,9817479	-0,16	96,38%
20°	0,97051	-0,26	94,19%
25°	0,9594006	-0,36	92,04%
30°	0,9462372	-0,48	89,54%
35°	0,9332543	-0,6	87,10%
40°	0,9204496	-0,72	84,72%
45°	0,906767	-0,85	82,22%
50°	0,8922776	-0,99	79,62%
55°	0,8759917	-1,15	76,74%
60°	0,8590135	-1,32	73,79%
65°	0,83946	-1,52	70,47%
70°	0,8184648	-1,74	66,99%
75°	0,7961594	-1,98	63,39%
80°	0,7709035	-2,26	59,43%
85°	0,744732	-2,56	55,46%
90°	0,7153194	-2,91	51,17%
95°	0,6831247	-3,31	46,67%
100°	0,6478881	-3,77	41,98%
105°	0,6102391	-4,29	37,24%
110°	0,5688529	-4,9	32,36%
115°	0,525412	-5,59	27,61%
120°	0,4791815	-6,39	22,96%
125°	0,431026	-7,31	18,58%
130°	0,3816048	-8,37	14,55%
135°	0,3315126	-9,59	10,99%
140°	0,2831392	-10,96	8,02%
145°	0,2385064	-12,45	5,69%
150°	0,2009093	-13,94	4,04%
155°	0,1727286	-15,25	2,99%
160°	0,1563148	-16,12	2,44%
165°	0,1503142	-16,46	2,26%
170°	0,1508343	-16,43	2,28%
175°	0,1531087	-16,3	2,34%
270°	0,6982324	-3,12	48,75%
275°	0,7294575	-2,74	53,21%
280°	0,7577047	-2,41	57,41%
285°	0,7825262	-2,13	61,24%
290°	0,8053784	-1,88	64,86%
295°	0,8266985	-1,65	68,39%
300°	0,8472274	-1,44	71,78%
305°	0,8669619	-1,24	75,16%
310°	0,8861352	-1,05	78,52%
315°	0,9036045	-0,88	81,66%
320°	0,9204496	-0,72	84,72%
325°	0,9364832	-0,57	87,70%
330°	0,9506048	-0,44	90,36%
335°	0,963829	-0,32	92,90%
340°	0,9761128	-0,21	95,28%
345°	0,9862795	-0,12	97,27%
350°	0,9942601	-0,05	98,86%
355°	0,9988494	-0,01	99,77%

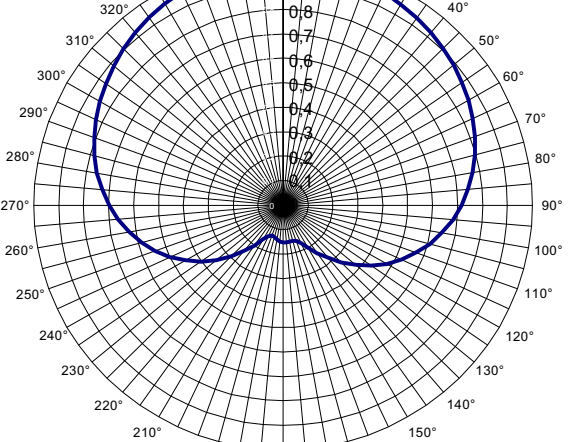


Diagrama de Azimute 220°

Graus	E/Emax	(dB)	(%)
0°	0.9605058	-0,35	92,26%
5°	0.9605058	-0,35	92,26%
10°	0.9616123	-0,34	92,47%
15°	0.963829	-0,32	92,90%
20°	0.9671637	-0,29	93,54%
25°	0.971628	-0,25	94,41%
30°	0.978363	-0,19	95,72%
35°	0.9840111	-0,14	96,83%
40°	0.9908319	-0,08	98,17%
45°	0.9965521	-0,03	99,31%
50°	1	0	100,00%
55°	1	0	100,00%
60°	0.9965521	-0,03	99,31%
65°	0.9885531	-0,1	97,72%
70°	0.9781128	-0,21	95,28%
75°	0.959406	-0,36	92,04%
80°	0.937562	-0,56	87,90%
85°	0.9099133	-0,82	82,79%

Graus	E/Emax	(dB)	(%)
180°	0.1761976	-15,08	3,10%
185°	0.1717908	-15,3	2,95%
190°	0.1603245	-15,9	2,57%
195°	0.1474009	-16,63	2,17%
200°	0.1433838	-16,87	2,06%
205°	0.1597718	-15,93	2,55%
210°	0.1986095	-14,04	3,94%
215°	0.2538049	-11,91	6,44%
220°	0.3180534	-9,95	10,12%
225°	0.3868121	-8,25	14,96%
230°	0.4565623	-6,81	20,84%
235°	0.5248075	-5,6	27,54%
240°	0.589522	-4,59	34,75%
245°	0.6501937	-3,74	42,27%
250°	0.7053176	-3,02	49,89%
255°	0.7577047	-2,41	57,41%
260°	0.8035261	-1,9	64,57%
265°	0.8443062	-1,47	71,29%

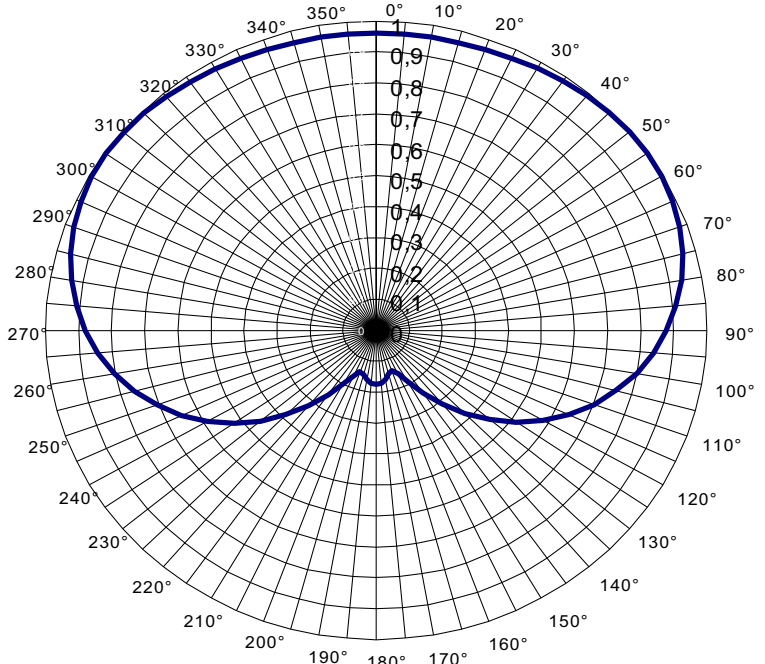
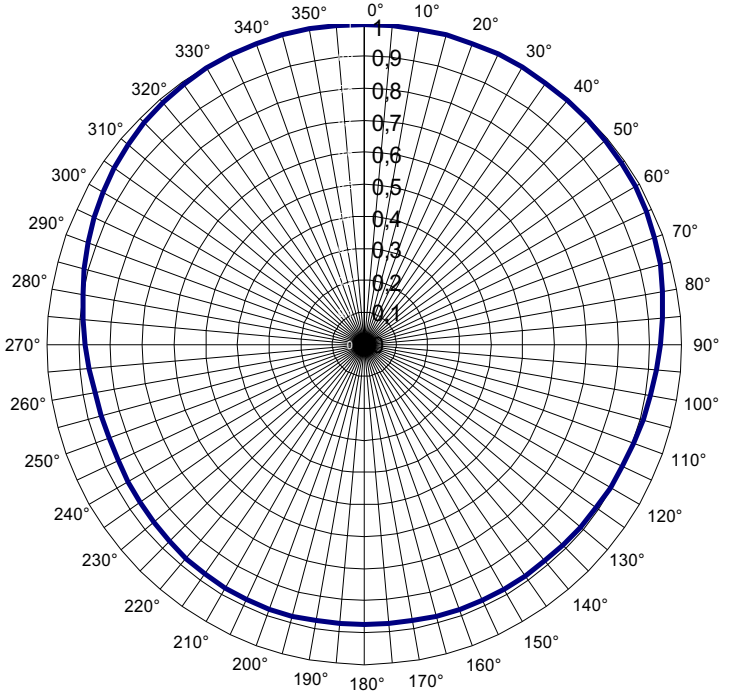


Diagrama de Azimute 360°

Graus	E/Emax	(dB)	(%)
0°	0.9988494	-0,01	99,77%
5°	0.9988494	-0,01	99,77%
10°	0.9988494	-0,01	99,77%
15°	1	0	100,00%
20°	1	0	100,00%
25°	1	0	100,00%
30°	0.9988494	-0,01	99,77%
35°	0.9977001	-0,02	99,54%
40°	0.9965521	-0,03	99,11%
45°	0.9942601	-0,05	98,86%
50°	0.9919733	-0,07	98,40%
55°	0.9886919	-0,09	97,95%
60°	0.9862795	-0,12	97,27%
65°	0.9817479	-0,16	96,38%
70°	0.9749896	-0,22	95,06%
75°	0.9663509	-0,3	93,33%
80°	0.9569327	-0,39	91,41%
85°	0.9451484	-0,49	89,33%

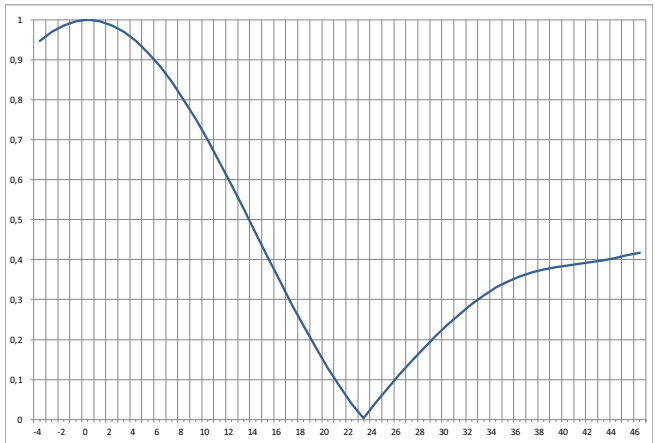
Graus	E/Emax	(dB)	(%)
180°	0.8759917	-1,15	76,74%
185°	0.8759917	-1,15	76,74%
190°	0.8770008	-1,14	76,91%
195°	0.8790225	-1,12	77,27%
200°	0.8800391	-1,11	77,45%
205°	0.8800391	-1,11	77,45%
210°	0.8790225	-1,12	77,27%
215°	0.8759917	-1,15	76,74%
220°	0.8729714	-1,18	76,21%
225°	0.8689604	-1,22	75,51%
230°	0.8649879	-1,26	74,82%
235°	0.8609938	-1,3	74,13%
240°	0.8560251	-1,33	73,62%
245°	0.8560517	-1,36	73,28%
250°	0.8560517	-1,36	73,28%
255°	0.8580251	-1,33	73,62%
260°	0.8629785	-1,28	74,47%
265°	0.8699614	-1,21	75,68%



ANTENA SLOT CILÍNDRICA - UHF - Pol. H

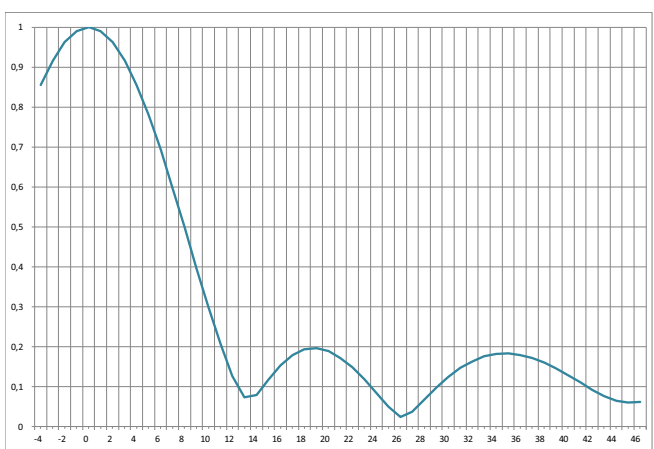
Elevação 2 Fendas

Graus	dB	E/Emax	Graus	dB	E/Emax
0	0,00	1,00	11	-3,84	0,64
1	-0,03	1,00	12	-4,65	0,59
2	-0,12	0,99	13	-5,58	0,53
3	-0,26	0,97	14	-6,63	0,47
4	-0,47	0,95	15	-7,83	0,41
5	-0,74	0,92	16	-9,20	0,35
6	-1,07	0,88	17	-10,78	0,29
7	-1,47	0,84	18	-12,64	0,23
8	-1,94	0,80	19	-14,89	0,18
9	-2,49	0,75	20	-17,74	0,13
10	-3,12	0,70	21	-21,68	0,08



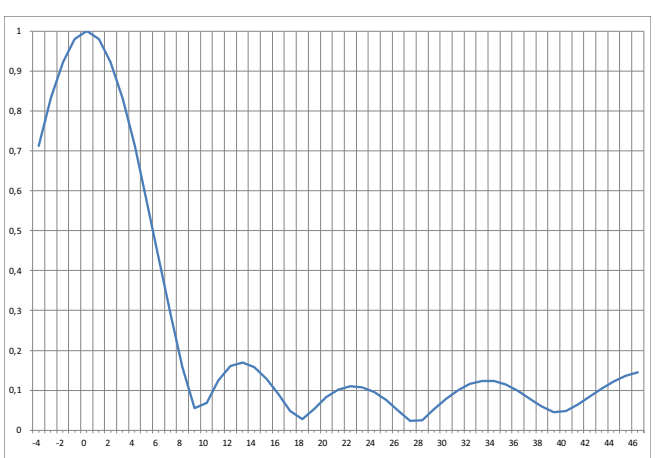
Elevação 4 Fendas

Graus	dB	E/Emax	Graus	dB	E/Emax
0	0,00	1,00	11	-13,66	0,21
1	-0,08	0,99	12	-17,91	0,13
2	-0,33	0,96	13	-22,63	0,07
3	-0,76	0,92	14	-22,05	0,08
4	-1,36	0,86	15	-18,63	0,12
5	-2,16	0,78	16	-16,30	0,15
6	-3,19	0,69	17	-14,93	0,18
7	-4,46	0,60	18	-14,26	0,19
8	-6,04	0,50	19	-14,12	0,20
9	-8,00	0,40	20	-14,46	0,19
10	-10,46	0,30	21	-15,26	0,17



Elevação 6 Fendas

Graus	dB	E/Emax	Graus	dB	E/Emax
0	0,00	1,00	11	-18,04	0,13
1	-0,17	0,98	12	-15,90	0,16
2	-0,70	0,92	13	-15,38	0,17
3	-1,61	0,83	14	-16,03	0,16
4	-2,94	0,71	15	-17,79	0,13
5	-4,78	0,58	16	-20,97	0,09
6	-7,29	0,43	17	-26,46	0,05
7	-10,78	0,29	18	-31,26	0,03
8	-16,02	0,16	19	-25,44	0,05
9	-25,14	0,06	20	-21,70	0,08
10	-23,39	0,07	21	-19,84	0,10



Elevação 8 Fendas:

Graus	dB	E/Emax	Graus	dB	E/Emax
0	0,00	1,00	11	-15,78	0,16
1	-0,30	0,97	12	-18,65	0,12
2	-1,21	0,87	13	-24,25	0,06
3	-2,82	0,72	14	-29,71	0,03
4	-5,31	0,54	15	-23,93	0,06
5	-9,08	0,35	16	-20,95	0,09
6	-15,35	0,17	17	-20,35	0,10
7	-30,56	0,03	18	-21,60	0,08
8	-20,01	0,10	19	-25,12	0,06
9	-15,72	0,16	20	-33,71	0,02
10	-14,78	0,18	21	-33,60	0,02

